

ΣΕΙΣΜΟΣ ΒΑ ΤΗΣ ΚΩ ($M_w=6.6$, 21/07/2017)

Στις **01:31 ώρα Ελλάδας** της **21/07/2017** (22:31 UTC, 20/07/2017) εκδηλώθηκε ισχυρή σεισμική δόνηση μεγέθους $M_w=6.6$ μεταξύ της θαλάσσιας περιοχής ΒΑ της Κω και των Νότιων ακτών της Τουρκίας. Τη δόνηση ακολούθησε μετασεισμική δραστηριότητα που καταγράφηκε από το Ενιαίο Εθνικό Δίκτυο Σεισμογράφων.

Τα δεδομένα των πρώτων **~72 ωρών** (περίπου τρία 24ωρα) μετά την εκδήλωση του σεισμού, που προέκυψαν από τις αναλύσεις του προσωπικού του Σεισμολογικού σταθμού του Εργαστηρίου Γεωφυσικής του Α.Π.Θ. (<http://geophysics.geo.auth.gr/ss/webcatalogs>), τις αναλύσεις του προσωπικού του Γεωδυναμικού Ινστιτούτου του Εθνικού Αστεροσκοπείου της Αθήνας (<http://bbnet.gein.noa.gr/HL/database>), καθώς και από τις αυτόματες καταγραφές-αναλύσεις από το λογισμικό *SeisComp* (<http://titan2.geo.auth.gr/alerts/>) που λειτουργεί στο Σεισμολογικό Σταθμό του Εργαστηρίου Γεωφυσικής του Α.Π.Θ., συγκεντρώθηκαν και ακολούθησε επεξεργασία τους με τη βοήθεια κατάλληλου λογισμικού (Τέζα, 2011).

Συγκεκριμένα μελετήθηκαν:

- 1) Η **χωρική κατανομή** των επικέντρων της ακολουθίας που οριοθετεί το σεισμογόνο χώρο της ακολουθίας.
- 2) Η **κατά μέγεθος κατανομή** των σεισμών-μελών της ακολουθίας που αναδεικνύει το μέγεθος πληρότητας και τις τιμές των παραμέτρων ***a*** και ***b*** της σχέσης G-R.
- 3) Η μεταβολή του **μέσου μεγέθους** των σεισμών-μελών, προϊούσης της ακολουθίας.
- 4) Η **διαμήκης τομή** του σεισμογόνου χώρου της ακολουθίας που δίνει με καλή προσέγγιση το **μήκος του σεισμογόνου ρήγματος**.
- 5) Η **εγκάρσια τομή** του εστιακού χώρου που αναδεικνύει τη **διεύθυνση και τη γωνία κλίσης** του σεισμογόνου ρήγματος.
- 6) Η **χρονική κατανομή** των σεισμών-μελών που δείχνει την **ομαλή (ή μη) εξέλιξη** της ακολουθίας, όπως αυτή προκύπτει από το ρυθμό εκδήλωσης των σεισμών που την απαρτίζουν.
- 7) Η **χωρο-χρονική κατανομή** των επικέντρων των σεισμών-μελών της ακολουθίας που, σε συνδυασμό με τη χωρική κατανομή (χάρτης σεισμικότητας), οδηγεί στην εξαγωγή χρήσιμων συμπερασμάτων αναφορικά με τον **τρόπο διάδοσης της διάρρηξης** στο σεισμογόνο ρήγμα.

Από τα έως τώρα δεδομένα προκύπτει ότι το σειсмоγόνο ρήγμα έχει διεύθυνση $\sim 100^\circ$ **ΑΝΑ-ΔΒΔ** και κλίνει προς τα Ν-ΝΔ. Αυτό βρίσκεται σε **καλή συμφωνία με διαθέσιμους μηχανισμούς γένεσης** του σεισμού που δημοσιεύονται από διάφορα σεισμολογικά κέντρα (GCMT, AUTH, NOA, INGV, KOERI, UOA, USGS). Οι μηχανισμοί γένεσης των κέντρων αυτών δείχνουν **κανονική διάρρηξη** κλίσης με μέση διεύθυνση $\sim 90^\circ$ και μέση κλίση $\sim 50^\circ$:

<https://www.emsc-csem.org/Earthquake/tensors.php?id=597714&year=2017;INFO>

Το μήκος του σειсмоγόνου χώρου φαίνεται να είναι της τάξης των **30km**. Ένα ρήγμα αυτής της διάστασης θα δικαιολογούσε, σε περίπτωση διάρρηξης σε ολόκληρο το μήκος του, τη γένεση ενός σεισμού μέγιστου μεγέθους ~ 6.6 που αντιστοιχεί στο μέγεθος του μεγαλύτερου σεισμού της ακολουθίας, ως τώρα.

Σημειώνουμε ότι οι επτά παραπάνω κατανομές που αφορούν τους σεισμούς-μέλη της υπό μελέτη σεισμικής διέγερσης, περιγράφουν σαφώς την ταυτότητα της ακολουθίας, αφού καλύπτουν χρονικό διάστημα ~ 72 ωρών. Η σχέση που περιγράφει τη χρονική κατανομή των μετασεισμών της ακολουθίας προέκυψε από τα δεδομένα του πρώτου 48ώρου. Είναι εμφανές ότι τα σημεία που αντιστοιχούν στους μετασεισμούς που εκδηλώθηκαν 72 ώρες μετά τη γένεση του κύριου σεισμού, παραμένουν εντός του διαστήματος εμπιστοσύνης 95% (όπως αυτό καθορίστηκε από τα δεδομένα του πρώτου 48ώρου) δικαιολογώντας τον χαρακτηρισμό ομαλά εξελισσόμενης μετασεισμικής ακολουθίας.

Συνεκτιμώντας τα παραπάνω καταλήγουμε στο συμπέρασμα ότι η υπό μελέτη διέγερση (με βάση τα ως τώρα δεδομένα) ενέχει χαρακτηριστικά τυπικής μετασεισμικής ακολουθίας. Αυτό προκύπτει κυρίως από τη διάσταση του σειсмоγόνου χώρου (~ 30 km, όπως αυτός διαμορφώνεται ως τώρα), από την κατά μέγεθος κατανομή των μετασεισμών (υψηλή τιμή της παραμέτρου b), από την χρονική και χωρο-χρονική τους κατανομή αλλά και από το σεισμικό ιστορικό της περιοχής. Τονίζουμε ότι σε καμιά περίπτωση η παραπάνω εκτίμηση δεν ενέχει χαρακτηριστικά βραχυπρόθεσμης πρόγνωσης.

Συνεχίζεται η προσεκτική παρακολούθηση της εξέλιξης της μετασεισμικής ακολουθίας από τους επιστήμονες του Τομέα Γεωφυσικής του Α.Π.Θ. Νεότερη ανάρτηση αναμένεται μέσα στο προσεχές 24ωρο, εφ' όσον υπάρξουν επαρκή νέα δεδομένα που θα συμβάλουν στην καλύτερη αποτίμηση της κατάστασης.

Οι χάρτες και τα γραφήματα έγιναν με τη χρήση του ελεύθερου λογισμικού GMT (*Wessel and Smith, 1995*)

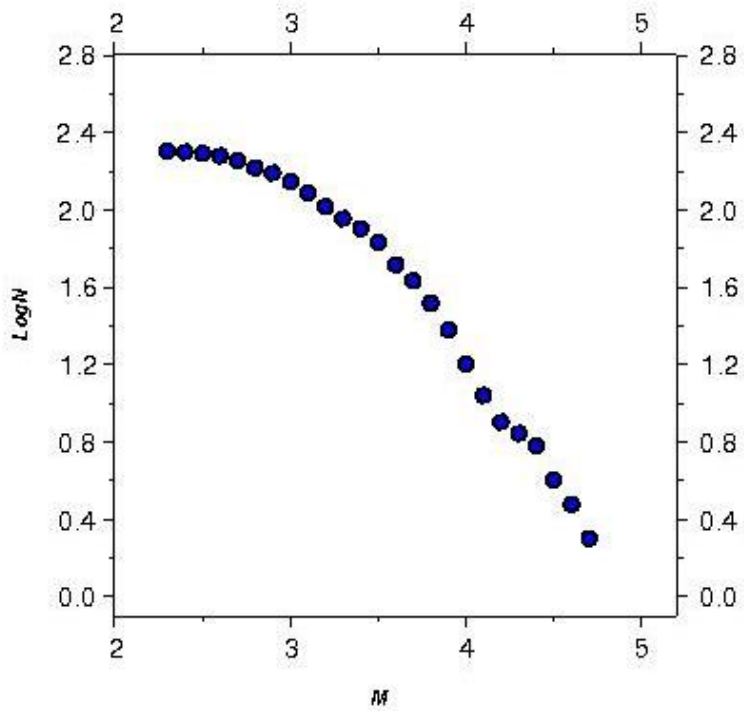
Ε. Τέζα

Μ. Σκορδύλης

Βιβλιογραφία

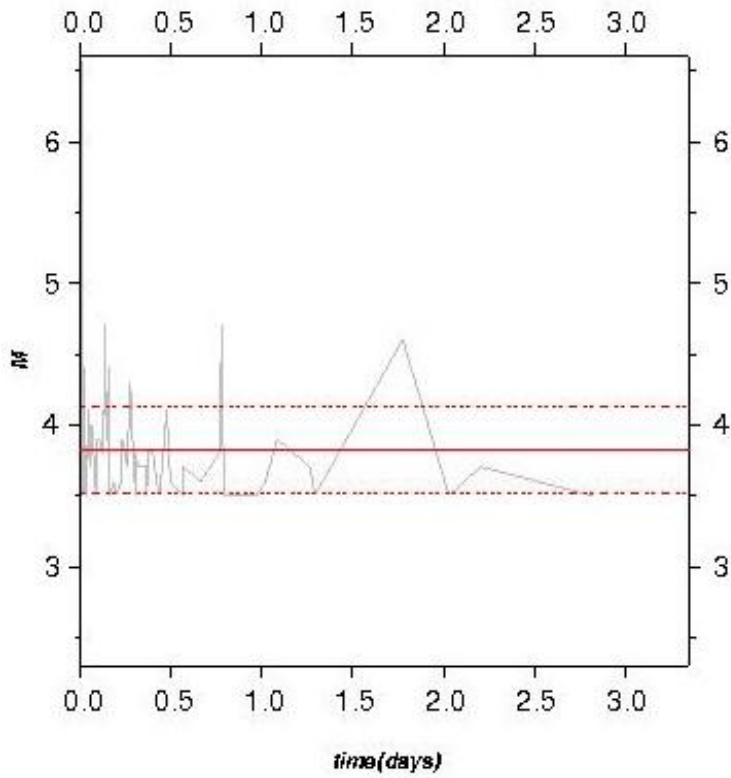
- Τέζα, Ε., “Αυτοματοποιημένη διαδικασία παρακολούθησης και εκτίμησης της εξέλιξης σεισμικών εξάρσεων”, Διατριβή Ειδίκευσης, Α.Π.Θ., σελ. 190, 2011.
- Wessel, P. and Smith, W., “New version of the Generic Mapping Tools”, EOS, 76-329, 1995.

G-R distribution



$M_c = 3.5$
 $\text{Log}N = -1.269 * M + 6.299$
 $b = 1.269$
 $a = 6.299$

Mean magnitude



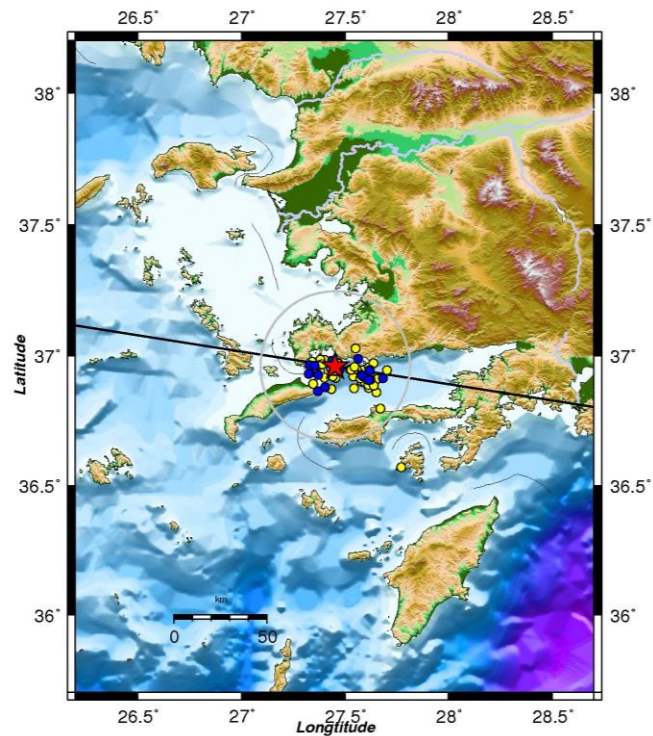
Mmean = 3.823

SD= 0.309

Mmean+SD = 4.132

Mmean-SD = 3.514

Seismicity map



Date: 20/07/2017

Time: 22:31:10 (UTC)

★ $M_w = 6.6$

● $M_{\geq 3.5}$

● $M_{\geq 4.0}$

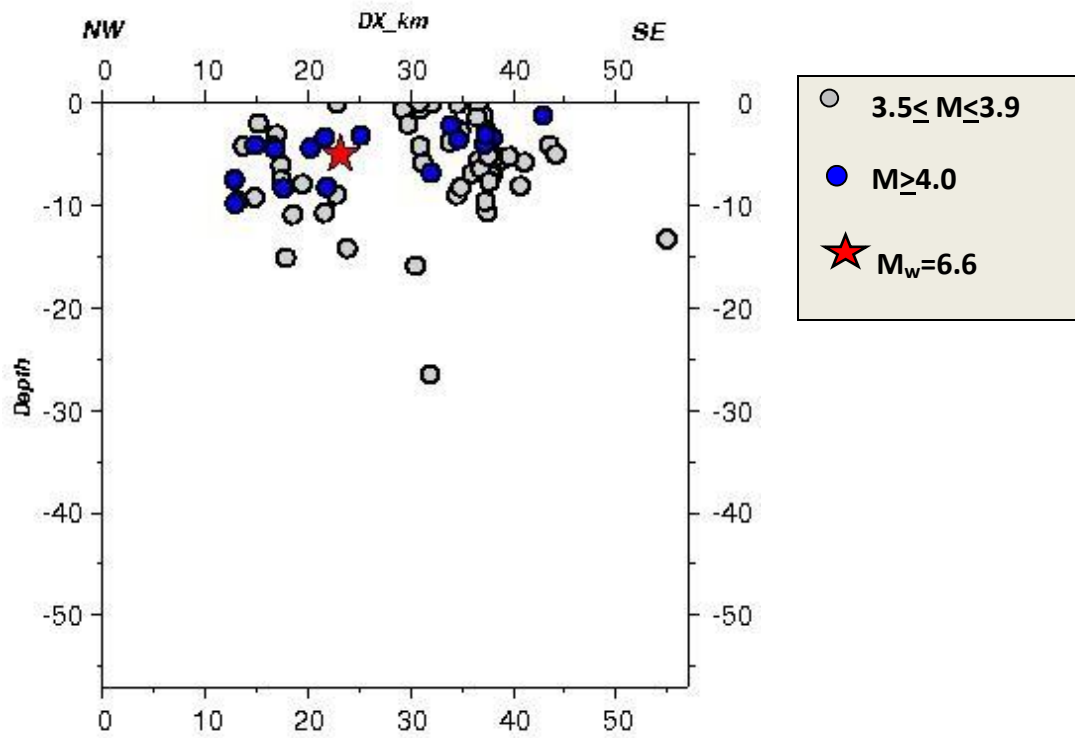
Latitude = 36.9590

Longitude = 27.4530

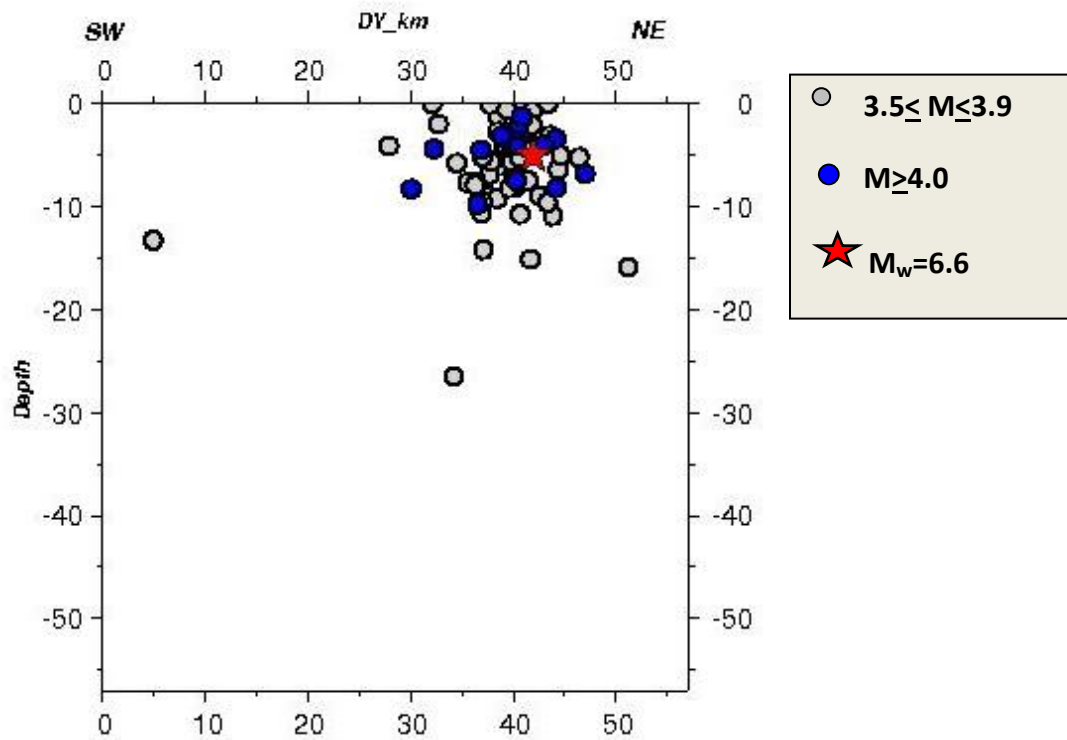
Depth = 05.00 km

Azimuth = 100

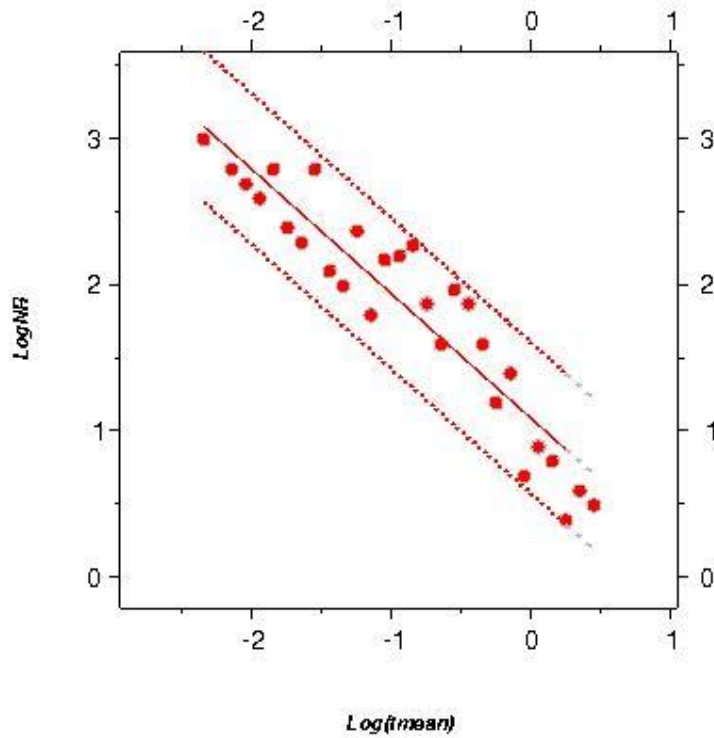
Along-strike section



Cross-strike section



Time distribution



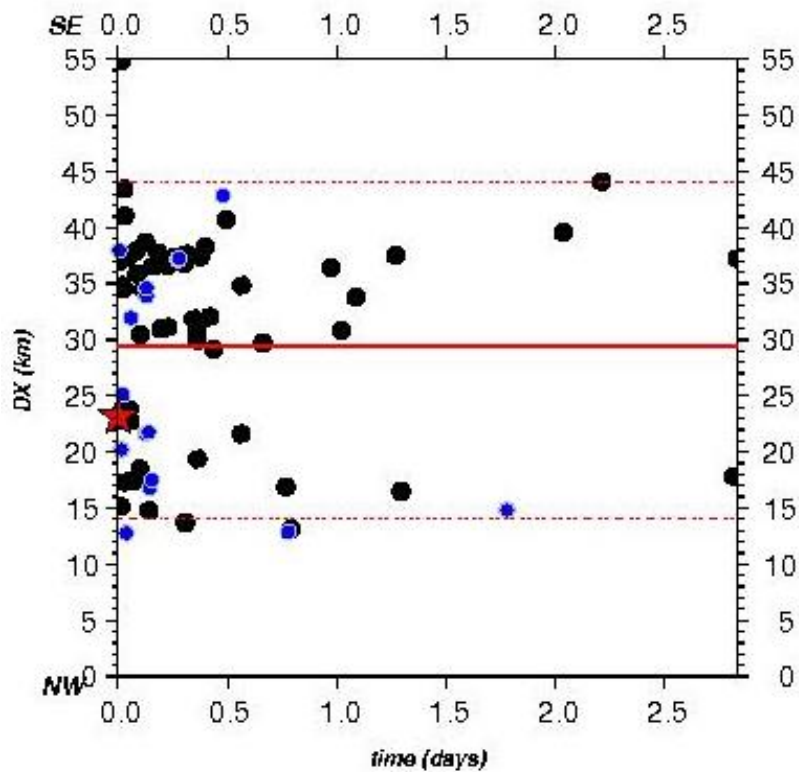
fit 48h: $y = -0.849 * x + 1.086$

fit 48h 95%

1st : $y_1 = -0.849 * x + 1.601$

2nd : $y_2 = -0.849 * x + 0.570$

Space-time distribution



● $3.5 \leq M \leq 3.9$

● $M \geq 4.0$

★ $M_w = 6.6$